Die isoelektronischen Molekülkomplexe TiCl₃(NPPh₃) und TiCl₃(OSiPh₃)

The Isoelectronic Molecular Complexes TiCl₃(NPPh₃) and TiCl₃(OSiPh₃)

Thilo Rübenstahl, Dorothea Wolff von Gudenberg, Frank Weller, Kurt Dehnicke* Fachbereich Chemie der Universität Marburg, Hans-Meerwein-Straße, D-35032 Marburg

Helmut Goesmann

Institut für Anorganische Chemie der Universität Karlsruhe, Engesserstraße, D-76128 Karlsruhe

Z. Naturforsch. 49b, 15-20 (1994); eingegangen am 7. September 1993

Monomeric Titanium Complexes, Synthesis, Crystal Structure

TiCl₃(NPPh₃) and TiCl₃(OSiPh₃) have been prepared from titanium tetrachloride and Me₃SiNPPh₃ and HOSiPh₃, respectively. Both complexes were characterized by IR spectroscopy and by crystal structure determinations.

 $TiCl_3(NPPh_3)$: Space group R $\overline{3}$, Z=6, structure analysis with 959 observed unique reflections, R=0.039. Lattice dimensions at -68 °C: a=b=1370.5(7), c=1845.9(9) pm.

 $TiCl_3(OSiPh_3)$: Space group $P2_1/c$, Z=8, structure analysis with 4549 observed unique reflections, R=0.049. Lattice dimensions at 19 °C: a=2127.7(2), b=947.2(1), c=2136.8(1) pm, $\beta=105.081(5)^\circ$.

Both complexes form monomeric molecules in which the titanium atom is tetrahedrally coordinated by three chlorine atoms, the nitrogen atom of the phosphorone iminato ligand and the oxygen atom of the silyloxy group, respectively. The bond lengths TiN of 171.9(4) pm and TiO of 171.0(3) (in average) correspond to double bonds.

1. Einleitung

Phosphaniminatokomplexe von Übergangsmetallen sind zahlreich bekannt [1]. In ihnen ist der Phosphaniminatoligand meist in nahezu gestreckter Anordnung gemäß 1a gebunden, jedoch sind auch MNP-Bindungswinkel bis 130° bekannt [1], was sich mit der Schreibweise 1b wiedergeben läßt:

$$\begin{bmatrix} \stackrel{\circ}{\mathbf{M}} \end{bmatrix} = \stackrel{\circ}{\mathbf{N}} = \mathbf{PR}_{3} \qquad \begin{bmatrix} \stackrel{\circ}{\mathbf{M}} \end{bmatrix} = \overline{\mathbf{N}} \qquad \longleftrightarrow \qquad \mathbf{M} \end{bmatrix} - \overline{\mathbf{N}} \qquad \mathbf{PR}_{3}$$
1 b

Die mit den Phosphaniminatokomplexen isoelektronischen Silyloxykomplexe fanden erst in neuerer Zeit Interesse, vor allem im Hinblick auf ihren Modellcharakter zum Studium silylierter Metalloxidoberflächen [2, 3]. Kristallstrukturanalysen zeigen, daß auch in diesen Verbindungen MOSi-Bindungswinkel zwischen 130° und 180° angetroffen werden bei zugleich auffällig kurzen Metall-Sauerstoff-Abständen [2–7]. Dies läßt vermuten, daß zu den bei Phosphaniminatokomple-

xen entwickelten Bindungsvorstellungen [8,9] analoge Verhältnisse bestehen:

$$[\stackrel{\odot}{M}] = \stackrel{?\odot}{O} = \stackrel{\odot}{S}iR_3 \qquad [\stackrel{\odot}{M}] = \stackrel{\frown}{O} \qquad \longleftrightarrow [M] - \stackrel{\frown}{O}$$

$$SiR_3 \qquad \qquad SiR_3$$
2b

Um solche direkten Vergleiche anzustellen, haben wir die beiden isoelektronischen Titankomplexe Cl₃Ti(NPPh₃) und Cl₃Ti(OSiPh₃) synthetisiert und strukturell charakterisiert.

2. Synthesen und IR-Spektren

Der Phosphaniminatokomplex $Cl_3Ti(NPPh_3)$ entsteht als gelbes, feuchtigkeitsempfindliches Kristallpulver bei der Einwirkung von Trimethylsilyltriphenylphosphanimin auf Titantetrachlorid in Tetrachlorkohlenstofflösung bei $-20~^{\circ}C$:

$$TiCl_4 + Me_3SiNPPh_3 \rightarrow Cl_3Ti(NPPh_3) + ClSiMe_3(1)$$

Das Produkt ist in CCl₄ nahezu unlöslich, die Ausbeute praktisch vollständig. Einkristalle erhielten wir durch Abkühlen gesättigter Lösungen von Dichlormethan, in denen sich Cl₃Ti(NPPh₃) sehr gut mit gelber Farbe löst.

Zu dem Silanolatokomplex Cl₃Ti(OSiPh₃) gelangten wir durch Umsetzung von Titantetrachlo-

Verlag der Zeitschrift für Naturforschung, D-72072 Tübingen 0932-0776/94/0100-0015/\$ 01.00/0

^{*} Sonderdruckanforderungen an Prof. Dr. K. Dehnicke.

rid mit Triphenylsilanol in Dichlormethanlösung bei 20 °C:

$$TiCl_4 + HOSiPh_3 \rightarrow Cl_3Ti(OSiPh_3) + HCl$$
 (2)

Durch Abkühlen gesättigter Lösungen in Dichlormethan, in denen der Komplex sehr gut löslich ist, lassen sich nahezu farblose, feuchtigkeitsempfindliche Einkristalle in guter Ausbeute erhalten.

Im IR-Spektrum des Phosphaniminatokomplexes lassen sich die beiden Valenzschwingungen der TiNP-Gruppe mit asymmetrischem Charakter bei 1161 cm⁻¹ und mit symmetrischem Charakter bei 520 cm⁻¹ zuordnen. Ihre extreme Energiedifferenz ist eine Folge der gestreckten TiNP-Achse, die zu maximaler Schwingungskopplung führt [1]. Im Bereich der TiCl-Valenzschwingungen [10] treten in Übereinstimmung mit lokaler C_{3v}-Symmetrie der TiCl₃-Gruppe zwei Banden bei 388 und 357 cm⁻¹ auf, die im Mittel deutlich längerwellig sind als im Spektrum von TiCl₄ (498 und 289 cm⁻¹ [10]). Dieser Befund paßt gut zu den gegenüber TiCl4 deutlich größeren TiCl-Abständen in Cl₃Ti(NPPh₃) (s.u.). Im Spektrum von Cl₃Ti(OSiPh₃) beobachten wir im Einklang mit den gegenüber TiCl4 nunmehr kürzeren TiCl-Abständen (s.u.) auch eine kurzwellige Verschiebung der beiden $TiCl_3$ -Valenzschwingungen nach 480 und 456 cm⁻¹. Eine sehr breite und unaufgelöste, intensive Absorptionsbande zwischen 945 und 910 cm⁻¹ ordnen wir $v_{\rm as}$ TiOSi zu, während $v_{\rm s}$ TiOSi als Folge von Schwingungskopplung wieder viel längerwellig, nämlich bei 570 cm⁻¹ (Schulter bei 550 cm⁻¹) auftritt. Die breite Bande oberhalb 910 cm⁻¹ und das Auftreten zweier symmetrischer TiOSi-Valenzschwingungen korreliert gut mit dem Vorliegen zweier symmetrieunabhängiger, im TiOSi-Bindungswinkel etwas verschiedener Individuen (s. u.)

3. Kristallstrukturanalysen

Tab. I enthält die kristallographischen Daten und Angaben zu den Strukturlösungen, die Tabellen II und III die Bindungslängen und -winkel, die Tabellen IV und V die Atomkoordinaten.*

* Weitere Einzelheiten zur Kristallstrukturuntersuchung können beim Fachinformationszentrum Karlsruhe, Gesellschaft für wissenschaftlich-technische Information mbH, D-76344 Eggenstein-Leopoldshafen, unter Angabe der Hinterlegungsnummer CSD 57687, der Autoren und des Zeitschriftenzitats angefordert werden.

Tab. I. Kristalldaten und Angaben zu den Kristallstrukturbestimmungen.

	TiCl ₃ (NPPh ₃)	TiCl ₃ (OSiPh ₃)
Gitterkonstanten	a = b = 1370,5(7); c = 1845,9(9) pm	a = 2127,7(2); b = 947,2(1); c = 2136,8(1) pm $\beta = 105,081(5)^{\circ}$
Zellvolumen	$V = 3003 \cdot 10^6 \mathrm{pm}^3$	$V = 4158 \cdot 10^6 \text{pm}^3$
Formeleinheiten pro Zelle	Z=6	Z=8
Dichte (berechnet)	$\rho = 1.43 \text{ g/cm}^3$	$\rho = 1.37 \text{ g/cm}^3$
Kristallsystem, Raumgruppe	orthorhombisch, R 3	monoklin, $P2_1/c$
Meßgerät	Vierkreis-Diffraktometer, Stoe Stadi IV	Vierkreis-Diffraktometer Enraf-Nonius CAD4
Strahlung	$MoK\alpha$ (Graphit-Monochromator)	$MoK\alpha$ (Graphit-Monochromator)
Meßtemperatur	-68 °C	19 °C
Zahl der Reflexe zur	26	24
Zellparameterberechnung	20	
Meßbereich, Meßverfahren	$2\theta = 3^{\circ} - 54^{\circ}$, ω -scan	$\theta = 2.3^{\circ} - 27^{\circ}$, ω -scan
Zahl der gemessenen Reflexe	1633	9194
Zahl der unabhängigen Reflexe	1089	8417
Zahl der beobachteten Reflexe	959 mit I > $2\sigma(I)$	$4549 \text{ mit } F_0 > 4 \sigma F_0$
Korrekturen	Lorentz- und Polarisationsfaktor	4549 mit $F_o > 4 \sigma F_o$ Lorentz- und Polarisationsfaktor
,	$\mu(MoK\alpha) = 8.4 \text{ cm}^{-1}$	$\mu(\text{MoK}\alpha) = 8.6 \text{ cm}^{-1}$
Strukturaufklärung	Direkte Methoden	Direkte Methoden
Verfeinerung	Methode der kleinsten	Methode der kleinsten Fehlerquadratesummen
· · · · · · · · · · · · · · · · · · ·	Fehlerquadratesummen	STATE AND SHAPE OF AN ALL STATE OF A STATE O
Restriktionen	keine	Phenylgruppen starr mit C-C-C und C-C-H 120
1 COUNTRION ON	H-Atomlagen isotrop	und C-C 139,5 pm und C-H 96 pm
Verwendete Rechenprogramme	SHELXTL [24], PLATON [25],	SHELXTL [24], PLATON [25],
ver wendete reenenprogramme	SCHAKAL [26]	SCHAKAL [26], ORTEP [27]
Atomformfaktoren	[28, 29]	[28, 29]
$R = \Sigma F_{o} - F_{c} /\Sigma F_{o} $	3,9%	4,9%
Rw	3,6%	4,1%

Tab. II. Ausgewählte Bindungslängen [pm] und -winkel [°] in TiCl₂(NPPh₂).

Ti-Cl	222,7(2)	P-N	161,4(4)
Ti-N	171,9(4)	P-C	179,6(3)
Cl-Ti-Cl N-Ti-Cl Ti-N-P	110,68(6) 108,24(3) 180	N-P-C C-P-C	110,73(9) 108,2(2)

Tab. IV. Atomkoordinaten und Parameter Ueg für den äquivalenten isotropen Temperaturfaktor bei -68 °C für TiCl₃(NPPh₃), U_{eq} in Å², berechnet nach [30], bezogen auf den Temperaturfaktor $\exp[-8\pi^2 U_{eq} \sin^2 \theta/\lambda^2]$.

Atom	X	y	Z	\mathbf{U}_{eq}
Ti	0,33333	0,66667	0,02014(4)	0,0328(2)
C1	0,15600(8)	0,5629(2)	0,05789(5)	0,0809(5)
P	0,33333	0,66667	-0.16039(6)	0,0329(3)
N	0,33333	0,66667	-0.0730(2)	0.042(1)
C 1	0,3093(3)	0,5339(3)	-0.1948(1)	0.033(1)
C2	0,2320(3)	0,4773(3)	-0.2499(2)	0.043(1)
C3	0,2189(3)	0,3782(3)	-0.2773(2)	0.050(1)
C4	0,2820(3)	0,3336(3)	-0.2509(2)	0,051(1)
C5	0,3586(4)	0,3883(3)	-0.1957(2)	0.058(2)
C6	0,3706(3)	0,4870(3)	-0,1672(2)	0,051(1)

Ti(1) - Cl(11)Ti(2) - Cl(21)216,4(2)218,0(1)Ti(1)-Cl(12) 217,4(2) Ti(2) - Cl(22)217,1(2) Ti(1) - Cl(13)217,6(2)Ti(2) - Cl(23)215,6(2) Ti(1) - O(1)Ti(2) - O(2)170,6(3)171,4(3) Si(1) - O(1)168,5(3) Si(2) - O(2)168,9(3) Si(1) - C(111)185,0(4) Si(2) - C(211)185.9(3) Si(1) - C(121)185,4(4) Si(2) - C(221)185,7(4) Si(1) - C(131)Si(2) - C(231)185,1(3) 185,1(4) Cl(21)-Ti(2)-Cl(22) Cl(21)-Ti(2)-Cl(23) Cl(11) - Ti(1) - Cl(12)110,06(7) 110,47(6) Cl(11) - Ti(1) - Cl(13)109,25(6) 108,33(6) 111,20(7) Cl(12) - Ti(1) - Cl(13)Cl(22) - Ti(2) - Cl(23)109,05(7) Cl(11) - Ti(1) - O(1)108,0(1)Cl(21) - Ti(2) - O(2)110.7(1)Cl(12) - Ti(1) - O(1)108,9(1)Cl(22) - Ti(2) - O(2)108,0(1)Cl(13) - Ti(1) - O(1)109,4(1) Cl(23) - Ti(2) - O(2)110,3(1) Ti(2)-O(2)-Si(2) O(2)-Si(2)-CTi(1) - O(1) - Si(1)176,1(2) 167.0(2)O(1)-Si(1)-C

C-Si(2)-C

Tab. III. Ausgewählte Bindungslängen [pm] und -winkel [°] in TiCl₃(OSiPh₃).

0.3669(1)

0.3790(1)

0.094(3)

0.100(3)

Tab. V. Atomkoordinaten und Parameter U_{eq} für den äquivalenten isotropen Temperaturfaktor bei $^19\,^{\circ}\mathrm{C}$ für TiCl₃(OSiPh₃). Definitionen siehe Tab. IV.

C-Si(1)-C

105,4-106,6(2)

111,6-113,6(2)

Atom	X	y	Z	U_{eq}
Ti 1	0,18078(4)	0,24243(8)	0,33178(4)	0,0598(3)
C111	0,12113(7)	0,3905(2)	0,26475(6)	0,0997(6)
C112	0,21658(7)	0.0784(2)	0,27876(8)	0,1162(7)
C113	0,26076(6)	0,3554(2)	0,39669(7)	0,0995(6)
Si 1	0,08447(6)	0.1028(1)	0,41975(6)	0,0546(5)
O1	0,1334(1)	0,1666(3)	0,3758(1)	0,067(1)
C111	0.1315(2)	0.1206(3)	0.5054(2)	0.055(2)
C112	0.1638(2)	0,2463(3)	0.5274(2)	0.089(2)
C113	0.2010(2)	0.2575(3)	0.5914(2)	0.107(3)
C114	0.2058(2)	0.1429(3)	0.6335(2)	0.107(3)
C115	0.1734(2)	0.0172(3)	0.6114(2)	0.092(3)
C116	0.1363(2)	0.0060(3)	0.5474(2)	0.072(2)
C121	0.0101(2)	0.2133(3)	0.3982(2)	0.056(2)
C122 ·	-0.0241(2)	0.2261(3)	0.3332(2)	0.082(2)
	-0.0799(2)	0.3096(3)	0.3160(2)	0,103(3)
	-0.1016(2)	0,3804(3)	0.3637(2)	0.108(3)
	-0.0675(2)	0.3676(3)	0.4287(2)	0.099(3)
	-0.0116(2)	0,2841(3)	0.4459(2)	0.076(2)
	0,0689(1)	-0.0846(3)	0.3962(1)	0.055(2)
	0,0063(1)	-0.1409(3)	0,3841(1)	0.070(2)
	-0.0041(1)	-0.2840(3)	0,3694(1)	0.087(2)

	C136	0,1211(1)	-0.1714(3)	0,3937(1)	0,083(2)
_	Ti 2	0,32679(4)	0,75383(8)	0,23695(3)	0,0563(3)
	C121	0,28946(7)	0,9017(1)	0,15783(6)	0,0897(6)
_	C122	0,24774(6)	0,6687(2)	0,27233(6)	0,0986(6)
)	C123	0,37455(8)	0,5832(2)	0,20082(7)	0,1188(7)
)	Si 2	0,42465(6)	0,8947(1)	0,37312(6)	0,0548(5)
)	O_2	0,3802(1)	0,8363(3)	0,3003(1)	0,067(1)
)	C211	0,3718(1)	0,8759(3)	0,4295(1)	0,054(2)
)	C212	0,3464(1)	0,7441(3)	0,4388(1)	0,068(2)
	C213	0,3057(1)	0,7305(3)	0,4802(1)	0,081(2)
	C214	0,2905(1)	0.8486(3)	0,5124(1)	0,088(2)
	C215	0,3159(1)	0,9804(3)	0,5031(1)	0,084(2)
	C216	0,3566(1)	0,9941(3)	0,4617(1)	0,070(2)
	C 221	0,4985(2)	0,7818(3)	0,3951(1)	0,056(2)
	C 222	0,5181(2)	0,7166(3)	0,4556(1)	0,067(2)
	C 223	0.5758(2)	0,6392(3)	0,4722(1)	0,084(2)
	C 224	0,6140(2)	0,6270(3)	0,4283(1)	0,094(3)
	C225	0,5943(2)	0,6921(3)	0,3678(1)	0,093(3)
	C226	0,5366(2)	0,7696(3)	0,3512(1)	0,076(2)
	C231	0,4452(1)	1,0812(4)	0,3617(2)	0,054(2)
	C232	0,3961(1)	1,1720(4)	0,3287(2)	0,099(3)
	C233	0,4097(1)	1,3144(4)	0,3219(2)	0,113(3)
	C234	0,4725(1)	1,3659(4)	0,3481(2)	0,089(3)
	C235	0,5216(1)	1,2751(4)	0,3810(2)	0,082(2)
	C236	0,5080(1)	1,1327(4)	0,3878(2)	0,069(2)

-0.3707(3)

106.1 - 106.6(2)

111,7-113,3(1)

0.1108(1) -0.3144(3)

0.0482(1)

C134

C135

$3.1. Cl_3Ti(NPPh_3)$

Die Verbindung bildet monomere Moleküle, in denen das Titanatom tetraedrisch von den drei Chloratomen und von dem N-Atom des Phosphaniminatoliganden $(\overline{N}=PPh_3)^-$ umgeben ist (Abb. 1). Bedingt durch die dreizählige Lagesymmetrie der Raumgruppe R 3 ist die Achse TiNP gestreckt. In allen anderen bisher untersuchten Phosphaniminatokomplexen von Übergangsmetallen erreichen die MNP-Bindungswinkel nur annähernd die gestreckte Anordnung [1]. Die beiden Bindungen TiN und PN entsprechen mit 171,9(4) pm bzw. 161,4(4) pm recht gut den Erwartungen für Doppelbindungen. Ähnlich kurze TiN-Abstände wurden auch in den Imidokomplexen $Cl_2Ti = NP(S)Ph_2 \cdot 3Py$ [11] mit 172,0(2) pm, $Cl_2Ti = NP(S)(i-Pr)_2 \cdot 3Py$ [12] mit 172,3(2) pm und in $(ArO)_2Ti = N - Ph \cdot 2Py (Ar = 2,6-i-Pr_2C_6H_3)$ [13] mit 171,9(3) pm gefunden und in allen Fällen als Doppelbindungen beschrieben. Da der Erwartungswert einer PN-Doppelbindung etwa 164 pm

beträgt [14], läßt sich der TiNP-Bindungsmodus in Cl₃Ti=N=PPh₃ gemäß der Schreibweise **1a** (s.o.) verstehen. Die Ti-Cl-Bindungen sind im Vergleich zu Titantetrachlorid (219 pm [15]) geringfügig auf 222,7(2) pm gedehnt. Die Bindungswinkel am Titanatom weichen vom idealen Tetraederwinkel nur sehr wenig ab (Tab. II).

$3.2. Cl_3Ti(OSiPh_3)$

Auch diese Verbindung hat eine monomere Molekülstruktur. Wegen der niedriger symmetrischen Raumgruppe P2₁/c wird nun für die Bindungsachse TiOSi keine kristallographisch bedingte Linearität erzeugt. Dennoch erreichen die TiOSi-Bindungswinkel der beiden symmetrieunabhängigen Moleküle (Abb. 2) mit 176,1(2)° und 167,0(2)° nahezu Linearität. Auffällig kurz ist auch die Ti-O-Bindung mit 170,6(3) pm in Individuum 1 und mit 171,4(3) pm in Individuum 2. Im Vergleich hierzu werden in Aryloxidkomplexen des Titan(IV) Ti-O-Abstände allgemein im Bereich von 186–188

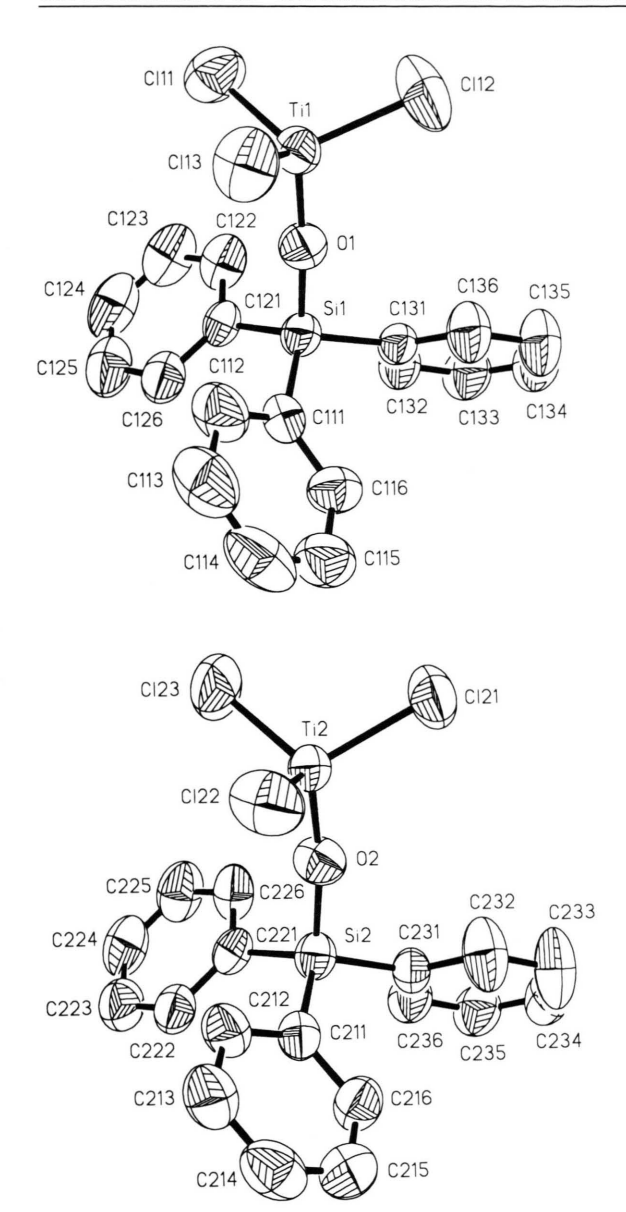


Abb. 2. Ansicht der beiden symmetrieunabhängigen Moleküle TiCl₃(OSiPh₃) mit der Atomnumerierung (ohne H-Atome). Ellipsoide der thermischen Schwingung mit 50% Aufenthaltswahrscheinlichkeit bei 19 °C.

pm beobachtet [13,16,17]. Der in Cl₃Ti(OSiPh₃) vorliegende TiO-Abstand ist trotz des Brückencharakters nur wenig länger als der in dem Komplex [(2,6-*i*-Pr₂C₆H₃O)₂Ti(=O)(Py)₂] beobachtete Abstand von 165,7(6) pm [18], aber deutlich kürzer als der TiO-Abstand im [TiOCl₄]²⁻Ion mit 179 pm [19]. Kürzere TiO-Abstände für terminal ge-

bundene Oxoliganden wurden nur in Porphyrinatokomplexen (Por)Ti(O) mit im Mittel von 162 pm gefunden [20-22]. Dagegen wird in der Struktur des monomeren (Triphenylsilanolato)titanatran-Komplexes mit fünffach koordiniertem Titanatom, in dem ebenfalls eine durch Symmetrie bedingte lineare Achse TiOSi vorliegt, ein Ti-O-Abstand von 183.4 pm gefunden, der eher einer TiO-Einfachbindung entspricht [7]. Auch die Si-O-Bindungslänge entspricht im Cl₂Ti(OSiPh₂)-Molekül mit Werten von 168.5 und 168.9(3) pm etwa dem Erwartungswert einer Einfachbindung [15]. Insgesamt lassen sich die Bindungsverhältnisse in den beiden isoelektronischen Molekülen Cl₃Ti(NPPh₃) und Cl₃Ti(OSiPh₃) recht gut durch die Schreibweise der oben diskutierten Formeln 1 und 2 wiedergeben.

Die TiCl-Bindungslängen in Cl₃Ti(OSiPh₃) betragen im Mittel beider Individuen 217,0(2) pm. Sie sind damit deutlich kürzer als im Phosphaniminatokomplex mit 222,7(2) pm und noch etwas kürzer als in TiCl₄ mit 219 pm [15]. Wir führen dies auf die größere Elektronegativität des (OSiPh₃)⁻-Liganden im Vergleich zu der des (NPPh₃)⁻-Liganden zurück. Die Bindungswinkel am Titanatom weichen wie im Phosphaniminatokomplex wieder nur sehr wenig vom idealen Tetraederwinkel ab (Tab. III).

Experimenteller Teil

Die Versuche erfordern Ausschluß von Feuchtigkeit. Die Lösungsmittel CH_2Cl_2 und CCl_4 wurden zur Trocknung über P_4O_{10} destilliert. Me₃SiNPPh₃ erhielten wir durch Staudinger-Reaktion nach [23] aus den käuflichen Reagentien PPh₃ und Me₃SiN₃ (Merck). Titantetrachlorid wurde zur Reinigung destilliert. Triphenylsilanol war ein handelsübliches Präparat (Merck). Die IR-Spektren wurden mit Hilfe eines Perkin-Elmer-Gerätes 577 registriert, CsI-Scheiben, Nujolverreibungen.

$Cl_3Ti(NPPh_3)$

Zu einer Lösung von 1,1 ml $\rm TiCl_4$ (10,0 mmol) in 20 ml $\rm CCl_4$ wird unter Rühren bei $-20\,^{\circ}\rm C$ eine Lösung von 3,49 g Me₃SiNPPh₃ (10,0 mmol) hinzugetropft. Nach dem Anwärmen auf 20 °C wird der entstandene gelbe Niederschlag filtriert, mit $\rm CCl_4$ gewaschen und i. Vak. getrocknet. Ausbeute nahezu vollständig. Zur Herstellung von Einkristallen

löst man in CH₂Cl₂, engt die Lösung bis zur Sättigung ein und kühlt auf 5 °C ab.

 $C_{18}H_{15}NCl_{3}PTi(430,54)$

Ber. C 50,21 H 3,49 N 3,25 Cl 24,72%, Gef. C 50,04 H 3,63 N 3,12 Cl 25,25%.

$Cl_3Ti(OSiPh_3)$

Man löst 6,8 g TiCl₄ (36,0 mmol) in 50 ml CH₂Cl₂ und tropft bei 20 °C unter Rühren langsam eine Lösung von 10,0 g Ph₃SiOH (36,0 mmol) hinzu, wobei stürmische HCl-Entwicklung einsetzt. Nach beendeter Reaktion wird die Lösung

auf wenige ml eingeengt und bei 20 °C ruhig gestellt. Die praktisch farblosen Kristalle werden filtriert, mit wenig kaltem CH₂Cl₂ gewaschen und i. Vak. getrocknet. Ausbeute 12,0 g (80%).

 $C_{18}H_{15}OCl_3SiTi$ (429,65)

Ber. C 50,27 H 3,49 Cl 24,75 Ti 11,14%, Gef. C 48,74 H 3,65 Cl 25,83 Ti 11,59%.

Der Deutschen Forschungsgemeinschaft und dem Fonds der Chemischen Industrie danken wir für großzügige Unterstützung.

- [1] K. Dehnicke, J. Strähle, Polyhedron **8**, 707 (1989).
- [2] W. G. Klemperer, V. V. Mainz, R.-C. Wang, W. Shum, Inorg. Chem. 24, 1968 (1985).
- [3] F. J. Feher, J. F. Walzer, Inorg. Chem. **30**, 1689 (1991).
- [4] B. Stensland, P. Kierkegaard, Acta Chem. Scand. 24, 211 (1970).
- [5] W.-H. Leung, A. A. Danopoulos, G. Wilkinson, B. Hussain-Bates, M. B. Hursthouse, J. Chem. Soc. Dalton Trans. 1991, 2051.
- [6] E. A. Babaian, D. C. Hrncir, S. G. Bott, J. L. Atwood, Inorg. Chem. 25, 4818 (1986).
- [7] W. M. P. B. Menge, J. G. Verkade, Inorg. Chem. 30, 4628 (1991).
- [8] F. L. Phillips, A. C. Skapski, J. Chem. Soc. Dalton Trans. 1976, 1448.
- [9] N. Mronga, F. Weller, K. Dehnicke, Z. Anorg. Allg. Chem. **502**, 35 (1983).
- [10] J. Weidlein, U. Müller, K. Dehnicke, Schwingungsfrequenzen II, G. Thieme-Verlag, Stuttgart – New York (1986).
- [11] H. W. Roesky, H. Voelker, M. Witt, M. Noltemeyer, Angew. Chem. 102, 712 (1990); Angew. Chem., Int. Ed. Engl. 29, 669 (1990).
- [12] H. W. Roesky, T. Raubold, M. Witt, R. Bohra, M. Noltemeyer, Chem. Ber. 124, 1521 (1991).
- [13] J. E. Hill, R. D. Profilet, P. E. Fanwick, I. P. Rothwell, Angew. Chem. 102, 713 (1990); Angew. Chem., Int. Ed. Engl. 29, 664 (1990).
- [14] L. G. Hoard, R. A. Jacobson, J. Chem. Soc. A 1966, 1203.
- [15] A. F. Wells, Structural Inorganic Chemistry, Clarendon Press, Oxford (1984).

- [16] M. T. Reetz, Organotitanium Reagents in Organic Synthesis, Springer-Verlag, Berlin – Heidelberg – New York – Tokyo (1986).
- [17] L. D. Durfee, I. P. Rothwell, J. C. Huffman, Inorg. Chem. 24, 4569 (1985).
- [18] J. E. Hill, P. E. Fanwick, I. P. Rothwell, Inorg. Chem. 28, 3602 (1989).
- [19] W. Haase, H. Hoppe, Acta Crystallogr. B24, 282 (1968).
- [20] P. N. Dwyer, L. Puppe, J. W. Buchler, W. R. Scheidt, Inorg. Chem. 14, 1782 (1975).
- [21] R. Guilard, J. M. Latour, C. Lecomte, J.-C. Marchon, J. Protas, D. Ripoll, Inorg. Chem. 17, 1228 (1978).
- [22] W. Hiller, J. Strähle, W. Kubel, M. Hanack, Z. Kristallogr. 159, 173 (1982).
- [23] L. Birkhofer, A. Ritter, P. Richter, Chem. Ber. 96, 2750 (1963).
- [24] G. M. Sheldrick, SHELXTL-Plus, Siemens Analytical X-ray Instruments Inc., Madison, Wisconsin (U.S.A.) (1989).
- [25] A. L. Spek, PLATON-89, University of Utrecht (1989).
- [26] E. Keller, SCHAKAL, A FORTRAN Program for the Graphical Representation of Molecular and Crystallographic Models, Freiburg (1986).
- [27] C. K. Johnson, ORTEP, Report ORNL-3794, Oak Ridge National Laboratory, Tennessee (1965).
- [28] D. T. Cromer, J. B. Mann, Acta Crystallogr. A24, 21 (1968).
- [29] D. T. Cromer, J. B. Liberman, J. Chem. Phys. 53, 1891 (1970).
- [30] W. C. Hamilton, Acta Crystallogr. 12, 609 (1959).